

## (176) 脱硫反応に及ぼす $\text{CaCO}_3$ の効果 ( $\text{CaCO}_3$ 系脱硫剤の開発 - II )

川崎製鉄技術研究所 ○原 義明 小沢三千晴

千葉製鉄所 森下 仁 反町健一 山田純夫 数土文夫

1. 緒言 前報<sup>1)</sup>により  $\text{CaCO}_3$  系脱硫剤は脱硫効率が  $\text{CaO}$  系脱硫剤より大きく、脱硫コスト低減に有利なことが判明した。 $\text{CaCO}_3$  の効果は、主として分解生成ガスによる攪拌力の強化、分解時の粒の微細化にあると考えられるが、今回、実機実験の解析からこの点を明確にし、反応機構を推定した。

2. 実験方法 350T混銑車に脱硫剤をインジェクションし、この間に連続サンプリング、 $P_{\text{O}_2}$  測定  $\text{Cu}$  添加による均一混合時間の測定を行った。

3. 結果および考察 1) 温度低下： 温度低下は  $\text{CaO}$  系脱硫剤と同等である。雰囲気ガス分析および  $\text{S}$ 、 $\text{Si}$  の挙動から熱収支を計算した結果、 $\text{CaCO}_3$  の分解生成ガス  $\text{CO}_2$  による  $\text{Si}$  の酸化反応が  $\text{CaCO}_3$  の分解熱を補っていることが判明した。

II) 脱硫反応： 脱硫に対する  $\text{CaCO}_3$  の効果を明確にするため、以下の検討を行った。

脱硫反応が液側膜拡散律速あるいは化学反応律速とすると(1)式が成立し、固相内拡散律速とすると(2)式が成立<sup>2)</sup>。

$$[\% \text{S}] = [\% \text{S}]_0 \exp(-\alpha W) \quad (1)$$

$$[\% \text{S}]^{\frac{1}{2}} = [\% \text{S}]_0^{\frac{1}{2}} - \beta W \quad (2)$$

ここで、 $\alpha (\text{kg}/\text{ton})^{-1}$ 、 $\beta \%(\text{kg}/\text{ton})^{-1}$  は反応速度定数、 $W(\text{kg}/\text{ton})$  は脱硫剤原単位、 $[\% \text{S}]_0$  は処理前  $[\text{S}]$  濃度である。連続サンプリング結果を(1)、(2)式に適用し、 $\alpha$ 、 $\beta$  を求め Fig. 1, 2 に示す。 $\alpha$  が一定値を示す  $[\text{S}] < 0.01\%$  では液側膜拡散律速、 $\beta$  が一定値を示す  $[\text{S}] > 0.01\%$  では固相内拡散律速と推定される。高  $[\text{S}]$  濃度領域では川合らの結果<sup>3)</sup>と一致する。

固相内拡散律速とすれば、 $\text{CaCO}_3$  の効果は反応界面積の増加と考えられる。Photo.1 に  $1400^\circ\text{C}$  のルツボ中に投入した  $\text{CaCO}_3$  の形状変化を示す。 $\text{CaCO}_3$  は分解により微細化している。また、混銑車内の均一混合時間は  $200 \sim 300$  秒で、 $\text{CaO}$  系脱硫剤との差は見られず  $\text{CaCO}_3$  による攪拌力の増加はない。したがって、 $\text{CaCO}_3$  の効果は粒の微細化による反応界面積の増加にあると結論できる。

$\text{CaCO}_3$  系脱硫剤インジェクション時の溶銑中  $P_{\text{O}_2}$  は  $10^{-16} \text{ atm}$  である。これは、 $\text{CaO}$  系脱硫剤に比較し 1 衡大きいが、脱硫反応が固相内拡散律速であるため、脱硫効率への影響は見られない。

4. 結言  $\text{CaCO}_3$  系脱硫剤に関し、脱硫に及ぼす  $\text{CaCO}_3$  の効果を明確にし、脱硫反応機構を解明した。

(文献) 1) 森下ら：本講演大会発表予定

2) 江見ら：金属学会シンポジウム(1979)

3) 川合ら：鉄と鋼, 61 (1975), 29

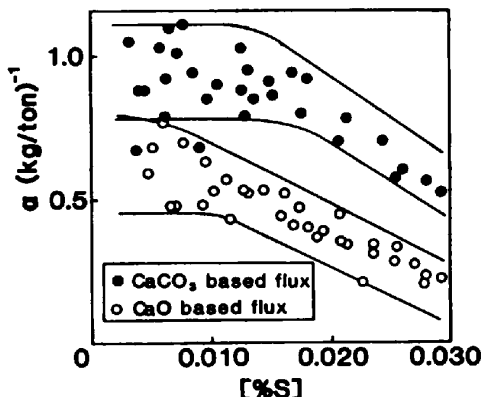


Fig. 1 Relation between the rate constant  $\alpha$  in eq. (1) and  $[\% \text{S}]$

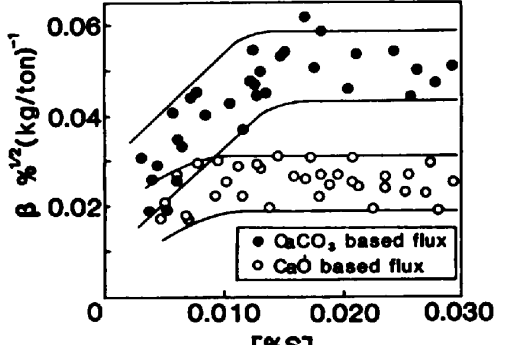


Fig. 2 Relation between the rate constant  $\beta$  in eq. (2) and  $[\% \text{S}]$

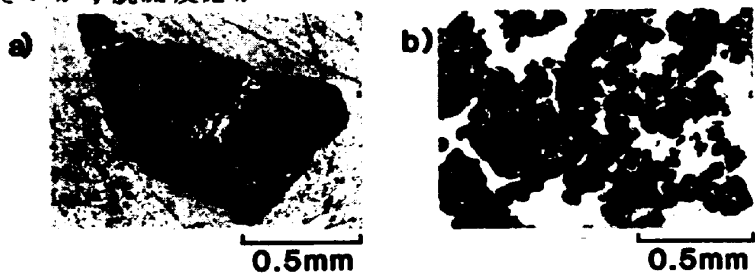


Photo. 1 Decomposition of  $\text{CaCO}_3$  in the crucible at  $1400^\circ\text{C}$

a) before decomposition b) after decomposition